

مکانیابی آنزیم Na^+, K^+ -ATPase و سلول‌های یونوستیت در آبشنش گربه ماهی *Silurus glanis*

صابر خدا بنده ^۱Ph.D., زهرا تقی‌زاده ^۲M.Sc.

۱. دانشگاه تربیت مدرس، نور، دانشکده منابع طبیعی و علوم دریایی، گروه بیولوژی دریا

۲. آدرس مکاتبه: نور، صندوق پستی: ۴۶۴۱۴-۳۵۶، دانشگاه تربیت مدرس، دانشکده منابع طبیعی و علوم دریایی، گروه بیولوژی دریا

E-mail: surp78@yahoo.com

چکیده

دریافت مقاله: ۸۵/۲/۲، پذیرش مقاله: ۸۵/۲/۲

* هدف: تعیین محل حضور سلول‌های یونوستیت و آنزیم Na^+, K^+ -ATPase در آبشنش گربه ماهی اسبله (*S. glanis*)

* مواد و روش‌ها: نمونه‌ها در محلول بوئن فیکس و پس از مراحل آب‌گیری در داخل پارافین قالب گیری و برش داده شدند. برای بررسی‌های بافت‌شناسی، برش‌ها با هماتوکسیلین و ائوزین رنگ‌آمیزی و با میکروسکوپ نوری مطالعه شدند. برای مطالعه ایمونوهویستوشیمی از آنتی‌بادی (Mouse Monoclonal Antibody Raised Against the α -subunit of the Chicken Na^+, K^+ -ATPase) IgG_a و آنتی‌بادی Monoclonal Mouse Anti-fluorescein Antibody (FITC) پس از طی مراحل آباده‌سازی مشاهده شد.

* یافته‌ها: در برش طولی دور دیف تیغه‌های آبتشی مشاهده می‌شود. رشد ها و تیغه‌های آبتشی بافت پوششی تخصص یافته‌ای پوشیده شده است. این بافت پوششی دارای سلول‌های همراه، سلول‌های مکوسی و سلول‌های یونوستیت است. در روش ایمونوهویستوشیمی، آنتی‌بادی IgG_a روی آنزیم Na^+, K^+ -ATPase قرار گرفته و با حضور آنتی‌بادی FITC این آنزیم را به صورت فلورسانس نشان می‌دهد. هیچ سلول ایمونوفلورسانسی روی تیغه‌های آبتشی دیده نشد ولی تعدادی سلول ایمونوفلورسانسی روی رشد های آبتشی درست در فضاهای بین تیغه‌ای دیده شدند. با بزرگنمایی بیشتر مشاهده شد این سلول‌های ایمونوفلورسانس نیز در ناحیه رأسی رشد های آبتشی مشاهده شدند. با بزرگنمایی بیشتر مشاهده شد این سلول‌ها کروی و در ناحیه قاعده‌ای-جانبی خود دارای فلورسانس قوی هستند.

* نتیجه‌گیری: در گربه ماهی اسبله، سلول‌های یونوستیت در فضاهای بین پایه‌ای تیغه‌های آبتشی و در ناحیه رأسی رشد آبتشی حضور دارند. آنزیم Na^+, K^+ -ATPase با تراکم قابل ملاحظه‌ای در ناحیه قاعده‌ای-جانبی این سلول‌ها قرار داشته و می‌بین شرکت فعال این سلول‌ها در مکانیسم تنظیم اسمزی است.

کلید واژگان: کلید واژگان: *Silurus glanis*, یونوستیت, Na^+, K^+ -ATPase, تنظیم اسمزی، ایمونوهویستوشیمی

فصلنامه پژوهشی یاخته، سال هشتم، شماره ۱، بهار ۸۵، صفحات ۵۲-۴۵

آب طوری تعییه شده که حداقل نفوذپذیری را نسبت به آب داشته باشند. این ماهی‌ها آب نمی‌نوشند و سطوح تنفسی آنها برای تبادلات گازی مطلوب، نازک و وسیع است (۳، ۲) و معمولاً بیشترین مقدار مواد محلول را از دست می‌دهند و آب را غیربرادری جذب می‌کنند. پس ماهی‌ها به بافت‌ها و سلول‌های خاصی برای بازگرداندن یون‌های از دست رفته و خروج آب اضافی نیاز دارند. آبتشش‌ها نقش بسیار مهمی در ثابت نگه داشتن ترکیب یونی درون بدن در مواجهه با محیط‌های هیپراسموتیک و هیپوسموتیک دارند (۲). ساختار آبتشش ماهی‌های استخوانی به عنوان عضو فعال در انتشار گازهای تنفسی، تنظیم یونی و دفع مواد زاید به طور گستره موردمطالعه قرار گرفته است (۱-۷). امروزه سلول‌های یونوستیت (سلول‌های کلایید: سلول‌های غنی از میتوکندری) به عنوان مکان‌هایی برای خروج Na^+ و Cl^- در ماهی‌های آب دریا و به عنوان مسئول جذب فعال یون (خصوصاً سدیم) در گونه‌های آب شیرین شناخته می‌شوند (۲، ۷، ۸، ۹، ۱۰، ۱۱، ۱۲، ۱۳، ۱۴). تحقیقات بر روی گربه ماهی Armored در برزیل نشان داده ۲۲

مقدمه

گربه ماهیان از خانواده سیلوریده (Siluridae) در آب‌های شیرین رودخانه‌های بزرگ و دریاچه‌های دارای بستر نرم و گاه آب‌های لب شور دیده می‌شوند. این ماهی‌ها در اکثر کشورها جزء ماهیان مهم پرورشی محسوب می‌شوند و به دلیل داشتن گوشت سفید فاقد استخوان و کم چرب، ارزش اقتصادی بالای دارند.

در ایران دو گونه از این خانواده گزارش شده است که گونه *S. glanis* با نام اسبله در ایران در طول خط ساحلی دریای خزر، رودخانه ارس، مرداد آنزلی، سد منجیل و سد مهاباد یافت می‌شود (۱).

در حال حاضر فیله آن جهت مصرف در بازار به فروش می‌رسد. اسبله ماهی، ساکن آب شیرین و نسبت به محیط خود دارای حالت هیپراسموتیک است (اسمولاریته خون ۳۰۰-۳۵۰ میلی اسمول بر کیلو در مقابل ماکزیمم ۵ میلی اسمول بر کیلو آب شیرین) (۲، ۳). در چنین شرایطی ماهی با مشکل هجوم آب به درون بدن و خروج یون‌ها روبرو است. در ماهی‌های آب شیرین برای مقابله با این مشکل سطوح تماس با

سپس سه نوبت ۴ ساعته داخل پارافین مایع واقع در اون قرار گرفت و در پایان در پارافین قالب گیری شدند (۱۸، ۸).

از قالب‌ها، به وسیله میکروتنوم، برش‌هایی به ضخامت ۵ میکرومتر تهیه و روی لام‌های با پوشش Poly-L-Lysin قرار داده شدند. برای مطالعه ساختار بافت‌شناسی آبشنش‌ها، لام‌ها به وسیله هماتوکسیلین و ائوزین رنگ‌آمیزی و توسط میکروسکوپ نوری مطالعه شدند.

تعیین مکان حضور آنزیم Na^+, K^+ -ATPase با استفاده از آنتی‌بادی IgG₅:

Monoclonal Antibody Raised Against the α -subunit of the Chicken Na^+, K^+ -ATPase; Developmental (Studies Hybridoma Bank, The University of Iowa, USA)

: FITC و آنتی‌بادی

Mouse Anti-fluorescein Antibody (Jackson Immuno Research, USA)

و میکروسکوپ نوری فلورسانس انجام گرفت.

برای مطالعه ایمونوہیستوشیمی، لام‌ها بعد از پارافین‌زدایی در (Histochoice Clearing Agent: HCA) و آبدهی در الكل اتانول به ترتیب ۱ دقیقه در محلول A (Phosphate Buffered Saline: PBS) ۱۰ میلی‌مول + ۳/۵ گرم کلرید سدیم) و ۲ دقیقه در محلول B (Drصد PBS و ۵۰ Drصد Regiler که نوعی شیر خشک است) قرار داده شدند (۸، ۹). سپس لام‌ها به مدت ۲ دقیقه در PBS شستشو داده شد و داخل یک جعبه حاوی هوای مرتبط، به طوری که سطح دارای برش به طرف بالا باشد، چیده شد. بر روی هر لام ۳-۲ قطره از آنتی‌بادی IgG₅ (۱۰۰ میکرولیتر آنتی‌بادی با ۹۰۰ میکرولیتر BS در یک میلی‌لیتر محلول) به میزان ۲۰ میکروگرم در میلی‌لیتر برای ۱۰ لام در PBS اضافه و به مدت ۲ ساعت در دمای ۲-۳°C اتاق نگهداری شد. بعد از شستشوی آنتی‌بادی اضافی با PBS قطره از آنتی‌بادی FITC (۵ میکرولیتر FITC به علاوه ۹۹۵ میکرولیتر PBS در یک میلی‌لیتر محلول) روی هر لام اضافه و به مدت یک ساعت در محیط کاملاً تاریک نگه داشته شد. سپس لام‌ها با PBS شستشو و با استفاده از مایع مونتاژ، مونتاژ شدند.

برای پی‌بردن به درستی کارکرد این آنتی‌بادی به صورت یک در میان به تعدادی از لام‌ها آنتی‌بادی IgG₅ اضافه نشد اما آنتی‌بادی FITC به لام‌های شاهد منفی اضافه شد تا این لام‌ها با فلورسانس نشدن متمایز شوند. کلیه لام‌ها بعد از قرار دادن لامل روی آنها در جعبه‌های مخصوص چیده و برای حفظ خواص فلورسانسی در جای کاملاً تاریک نگهداری شد. لامها توسط میکروسکوپ نوری فلورسانس (Leitz Diaplan Coupled to a Ploemopak 1- Lambda Lamp) با فیلترهای ۴۹۰-۴۵۰ نانومتر مشاهده و عکس‌برداری شد.

یافته‌ها

مشاهدات بافت‌شناسی نشان داد که در گربه ماهی *S. glanis* هر

است که در آبهای فقیر از نظر یون، سلول‌های یونوسیت روی تیغه‌ها و رشته‌های آبششی این ماهی حضور دارد (۴).

یکی از مکاتیسم‌های بسیار مهم انتقال فعل، پمپ سدیم - پتانسیم است. این پمپ یون‌های سدیم را به بیرون از غشاء سلول می‌راند و یون‌های پتانسیم را به درون غشا پمپ می‌کند. پروتین حامل این پمپ از دو پروتین مجذای گلوبولی تشکیل شده است. وزن پروتین بزرگتر موسوم به زیر واحد α تقریباً دو برابر وزن پروتین کوچکتر یعنی زیر واحد β می‌باشد. پروتین β کمپلکس پروتین را در غشا چربی نگه می‌دارد و پروتین α دارای گیرنده‌های سدیم و پتانسیم است و قسمتی از درون آن فعالیت ATPase دارد (Na^+, K^+ -ATPase). این پمپ عموماً در تمام سلول‌ها وجود دارد ولی تراکم آن در سلول‌های دخیل در تنظیم یونی (مانند سلول‌های یونوسیت) خیلی بیشتر است (۱۵).

تحقیقات نشان داده است آنزیم Na^+, K^+ -ATPase نقش محوری در انتقال یونی سلول‌های یونوسیت ایفا می‌کند. پروتین α دارای واکنش‌پذیری ایمنیابی (Immunoreactivity) است و ثابت شده است که شدت این واکنش با فعالیت آنزیم مرتبط است (۱۶).

اخیراً از آنتی‌بادی IgG₅ جهت مکان‌یابی سلول‌های یونوسیت و در واقع برای تعیین مکان‌های حضور آنزیم Na^+, K^+ -ATPase در حد وسیعی استفاده شده است (۷، ۸، ۹، ۱۲، ۱۴، ۱۷).

با وجود مطالعات فراوان روی سلول‌های یونوسیت ماهی‌های مختلف و خصوصاً آزاد ماهیان، مطالعه‌ای روی پراکنش، ساختار و عمل سلول‌های یونوسیت و همچنین آنزیم Na^+, K^+ -ATPase در آبشش گربه ماهیان سیلوریده انجام نگرفته است. شناخت ساختار و مکانیزم اندام‌های تنظیم اسمزی آبزیان می‌تواند نقش موثری در انتخاب آنها برای پرورش در آب‌های مختلف داشته باشد. نظر به اینکه گربه ماهی *S. glanis* می‌شود، شناخت ساختار آبششی و پراکندگی سلول‌های یونوسیت آن موضوع این تحقیق قرار گرفته است.

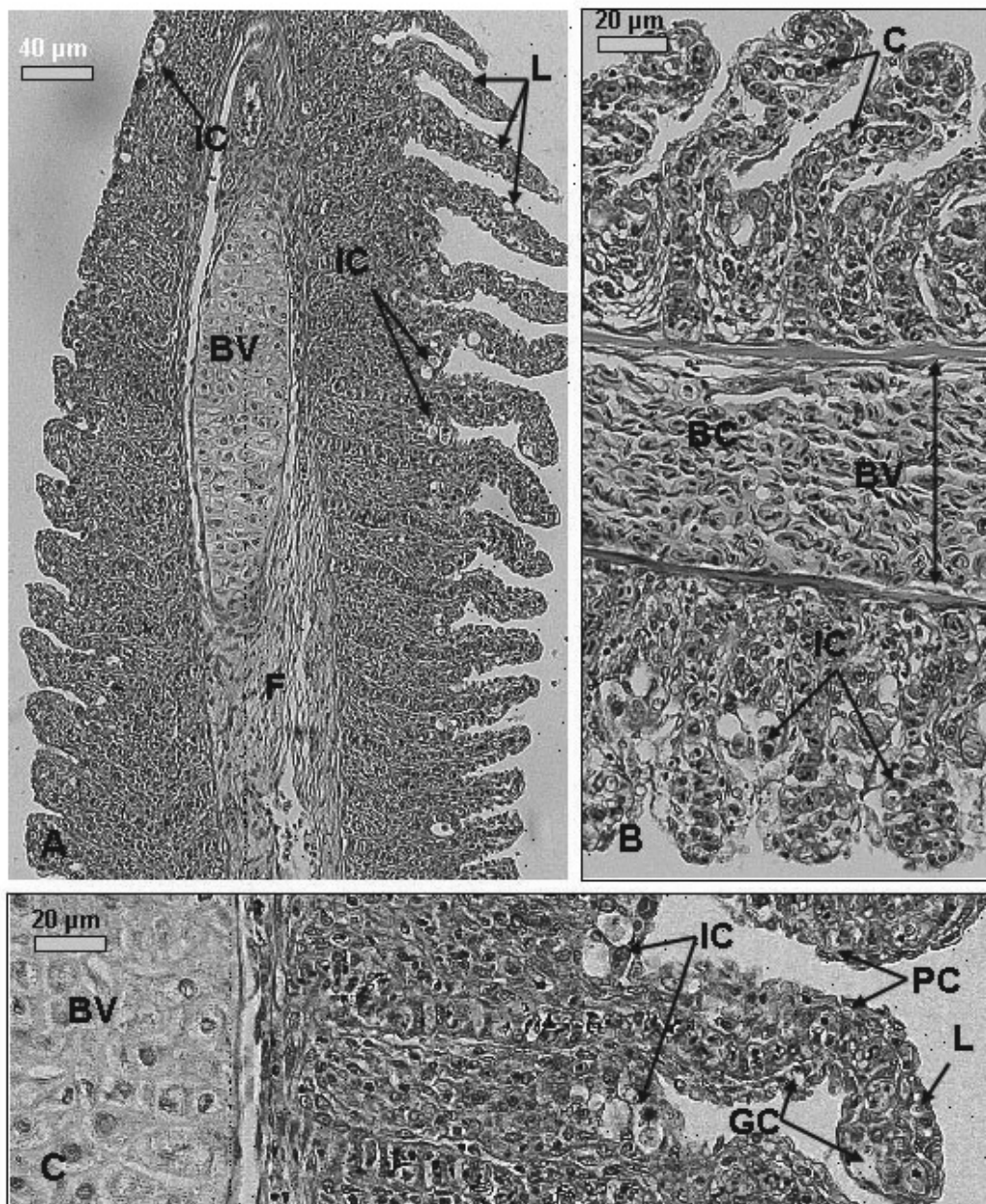
در این تحقیق از آنتی‌بادی IgG₅ برای مکان‌یابی سلول‌های یونوسیت و همچنین تعیین محل حضور آنزیم Na^+, K^+ -ATPase در آبشش ماهی *S. glanis* استفاده شده است.

مواد و روش‌ها

تعداد ۱۰ عدد گربه ماهی یک ساله به طول استاندارد متوسط 20 ± 1 سانتی‌متر و به وزن 300 ± 15 گرم در خرداد ماه سال ۱۳۸۳ از سد مهاباد صید و قسمتی از آبشش‌ها (یک سانتی‌متر مکعب) بلا فاصله پس از صید جدا و در محلول بوئن فیکس شد. نمونه‌ها بعد از ۲۴ ساعت از محلول بوئن خارج و در الكل اتانول ۷۰ درصد قرار گرفت. برای از بین بردن بقایای رنگ زرد بوئن از روی آبشش‌ها، نمونه‌ها چندین نوبت در الكل اتانول ۷۰ درصد شستشو داده شدند. بعد از بیست روز نمونه‌ها از الكل ۷۰ درصد خارج و برای آب‌گیری به ترتیب در الكل ۹۰ درصد (یک ساعت) الكل ۹۵ درصد (یک ساعت) الكل ۱۰۰ درصد (یک ساعت) و نهایتاً در الكل بوتائل (۱۲ ساعت) قرار داده شدند. نمونه‌ها

ارتفاع متوسط ۱۰۰ میکرومتر به صورت دو ردیف عمود بر محور طولی رشته قرار گرفته‌اند (شکل ۱A و ۱B). بخش انتهایی یا نوک رشته قادر تیغه است (شکل ۱A و ۱B).

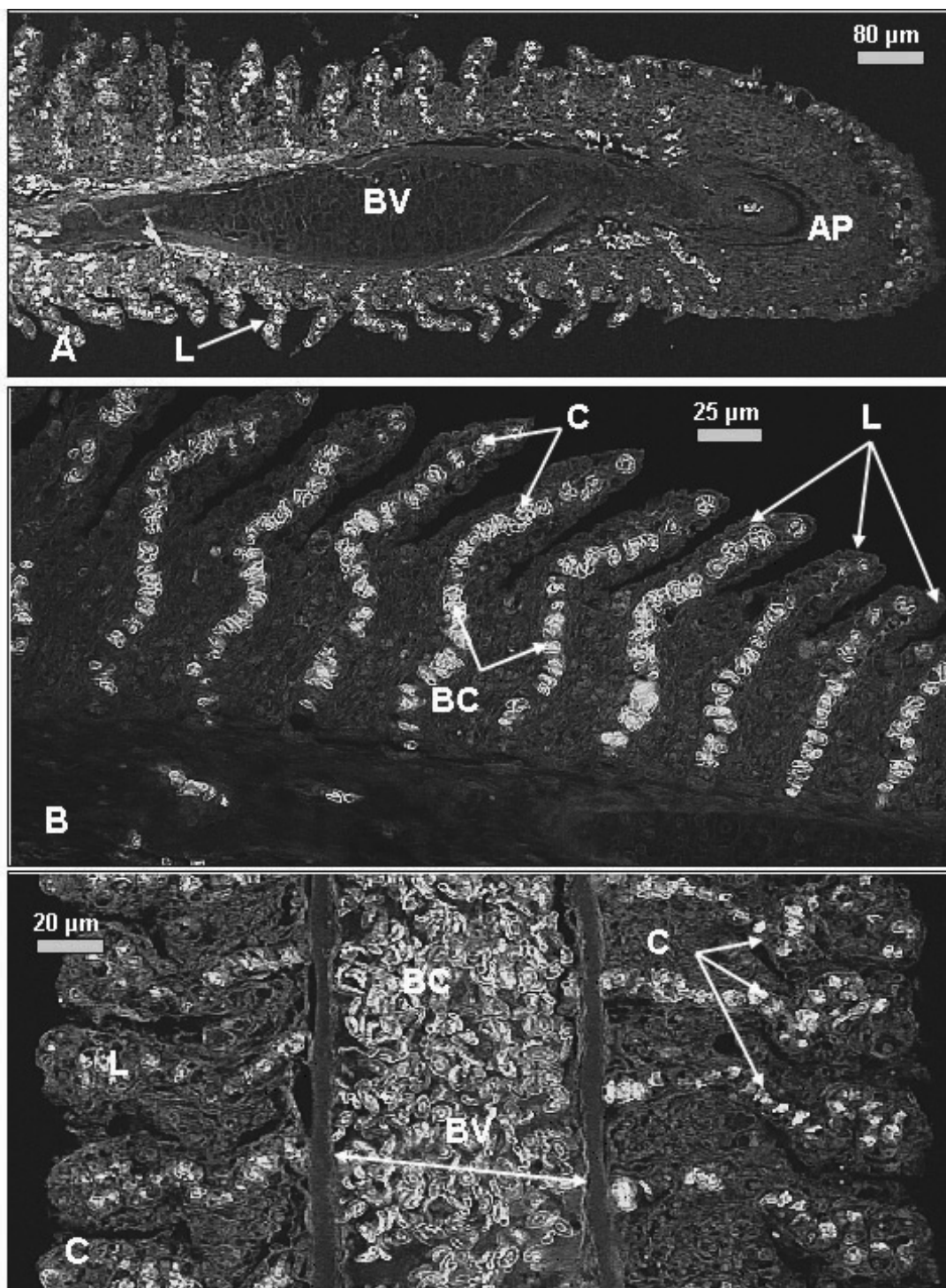
کمان برانشی (Arch) از دو ردیف رشته‌های ظرفی برانشی (Filament) پوشیده شده است و بر روی هر رشته برانشی تعدادی صفحات نازک و پهن موسوم به تیغه‌های آبشنشی (Lamellae) با



شکل ۱: (A) برش طولی رشته آبشنشی (فیلامنت). تیغه‌های آبشنشی (لامالها) در دو سمت رشته به خوبی قابل رویت هستند. در محور میانی رشته، بخشی از رگ خونی محتوی سلول‌های خونی مشاهده می‌شود. سلول‌های یونوسیت در ناحیه بین تیغه‌ای (Interlamellar) قرار دارند. (B) قسمتی از رشته و تیغه‌ها در دو سمت آن. مویرگ‌های حامل سلول‌های خونی در امتداد تیغه‌ها به خوبی قابل مشاهده هستند. رگ خونی میانی رشته، بخش وسیعی از بافت رشته آبشنشی را در بر گرفته است. (C) سلول‌های یونوسیت با رنگ روشن، اندازه درشت و شکل کروی در ناحیه بین تیغه‌ای قرار دارند. در ناحیه بین تیغه‌ای تجمعی از سلول‌های مختلف همچون سلول‌های سنتکفرشی و جامی (Goblet cells) دیده می‌شود.

AP: Apical part of filament
BV : Blood vessel
BC: blood cell
C: Capillary
F: Filament
GC: Goblet cell
IC: Ionocyte cell
L: Lamella
N: Nucleus
PC: Pavement cell

(تیغه آبشنشی: هسته سلول؛ PC: سلول سنتکفرشی؛ IC: سلول یونوسیت؛ BV: سلول خونی؛ BC: سلول جامی؛ F: سلول مویرگ؛ C: سلول پیشگاهی؛ N: نوک شکل در انتهای مقالات)



شکل ۲: (A) برش طولی رشتہ آبیششی (نمونه شاهد). همان‌طور که مشاهده می‌شود هیچ کونه فلورسنسی دیده نمی‌شود. (B) برش طولی رشتہ و تیغه‌های آن (نمونه شاهد). در این تصویر مویرگ‌های درون تیغه‌ها به خوبی مشخص‌اند و فلورسنسی دیده نمی‌شود. (C) قسمتی از برش طولی رشتہ نمونه شاهد. تیغه‌ها، مویرگ‌ها و سلول‌های خونی به خوبی مشخص هستند و فلورسنسی دیده نمی‌شود.

C: Capillary
AP: Apical part of filament
BV: Blood vessel
BC: blood cell
F: Filament
IC: Ionocyte cell
GC: Goblet cell
N: Nucleus
L: Lamella
PC: Pavement cell

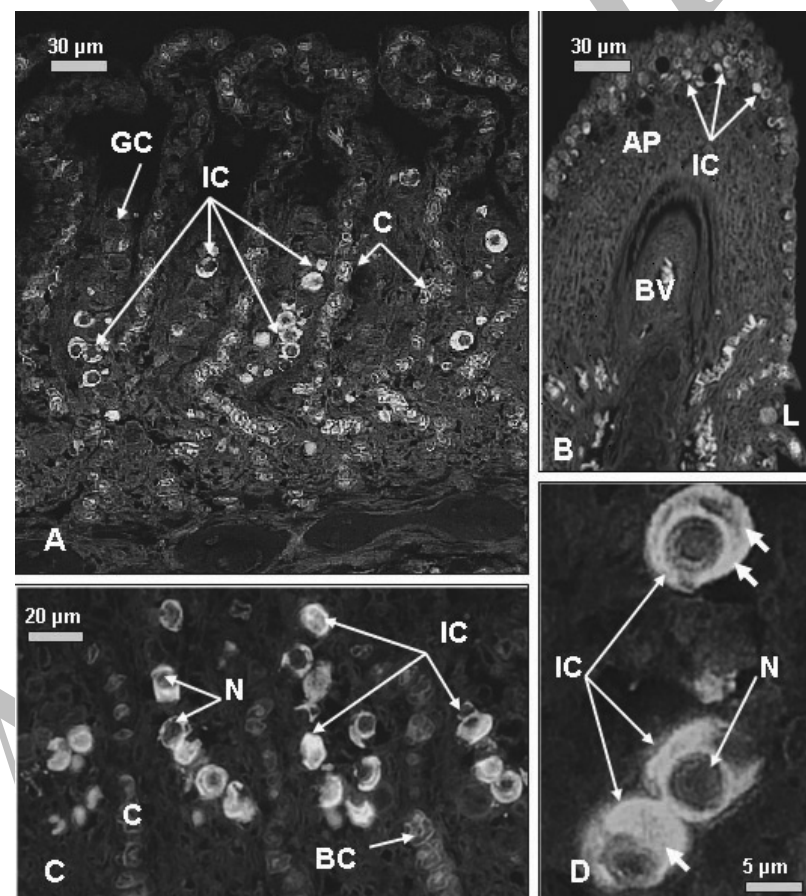
(نمونه رنگی شکل در انتهای مقالات)

سلول ایمونوفلورسانسی روی تیغه‌های آبششی دیده نشد ولی تعدادی سلول ایمونوفلورسانس در روی رشته‌های آبششی درست در فضاهای بین تیغه‌ای دیده شدند (شکل ۳A). تعدادی از این سلول‌های ایمونوفلورسانس در ناحیه رأسی رشته‌های آبششی نیز مشاهده شدند (شکل ۳B). در بزرگ‌نمایی بیشتر ($\times 100$) مشاهده شد که این سلول‌ها، گرد-بیضوی و دارای یک هسته درشت در وسط هستند (شکل ۳C و ۳D).

سلول‌های یونوسیت تقریباً به صورت مجتمع دیده می‌شوند و با سلول‌های خونی رنگ‌پذیری کاملاً متفاوتی دارند (شکل ۳C). ایمونوفلورسانسی قوی از آنزیم Na^+, K^+ -ATPase در ناحیه قاعده‌ای-جانبی سلول‌ها مشاهده شد و هسته سلول‌ها هیچ گونه ایمونوفلورسانسی از خود نشان ندادند (شکل ۳D).

در بر� طولی هر رشته، یک محور مرکزی شامل رگ‌های خونی و همچنین دو برش ردیف تیغه‌های آبششی مشاهده می‌شوند (شکل ۱C). تعداد زیادی سلول‌های خونی در داخل رگ‌ها قابل مشاهده است (شکل ۲A و ۲B). رشته‌ها و تیغه‌های آبششی توسط بافت پوششی تخصص یافته‌ای پوشیده شده است. این بافت پوششی دارای سلول‌های همراه، سلول‌های موکوسی و سلول‌های یونوسیت است (شکل ۳A). سلول‌های یونوسیت یا کلرايد به طور منفرد و گاه چندتایی در بین سایر سلول‌ها جای گرفته‌اند (شکل ۳A).

در روش ایمونوهیستوشیمی، آنتی‌بادی IgGα5 روی آنزیم Na^+, K^+ -ATPase قرار گرفته و با حضور آنتی بادی دوم این آنزیم را به صورت فلورسانس نشان می‌دهد. مطالعه ایمونوفلورسانس در لام‌های شاهد منفی نشان داد که سلول‌ها هیچ گونه فلورسانسی از خود نشان نمی‌دهند (شکل ۲A، ۲B و ۲C). در سایر لام‌ها، هیچ



شکل ۳: (A) قسمتی از برش طولی رشته و تیغه‌ها. سلول‌های یونوسیت در فضای واقع در بین پایه تیغه‌ها قرار گرفته‌اند. (B) سلول‌های یونوسیت در ناحیه رأسی رشته نیز دیده می‌شوند. (C) سلول‌های یونوسیت در ناحیه بین تیغه‌ای به صورت تقریباً مجتمع دیده می‌شوند و با سلول‌های خونی رنگ‌پذیری کاملاً متفاوتی دارند. (D) سلول‌های یونوسیت گرد-بیضوی با هسته گرد درشت می‌باشند. ملاحظه می‌شود هسته این سلول‌ها هیچ فلورسانسی از خود نشان نداده و به رنگ تیره دیده می‌شود.

AP: Apical part of filament; BV: Blood vessel; BC: blood cell; C: Capillary; F: Filament; IC: Ionocyte cell; GC: Goblet cell; N: Nucleus; PC: Pavement cell; L: Lamella; N: Nucleus; PC: Pavement cell; N: Nucleus; L: Lamella
نحوه رنگی شکل در انتهای مقالات)

بحث

مطالعه بافت شناسی آبشنش ماهی اسبله نشان می دهد که رشته های آبشنشی توسط تیغه های آبشنشی ظریف و نسبتاً کوتاهی پوشیده شده است. فضای اشغال شده توسط تنه اصلی هر رشته نسبت به تیغه های آبشنشی وسیع تر است و به عبارتی وسعت بخش تنفسی آبشنش خیلی قابل ملاحظه نیست. مطالعات روی ساختار آبشنش ماهی های مختلف نشان داده است که آبشنش در ماهی های پر تحرک مثل آزاد ماهیان و تون ماهیان نسبت به ماهی های کم تحرک و کف زی وسیع تر است (۱۹). مساحت کل آبشنش ها بر حسب واحد فرازدادی نسبت به گرم وزن بدن در ماهی تن Mackerel ۲۵۵۱، در آزاد ماهی دریایی ۱۲۵۳ و در Toadfish برابر با ۱۳۷ است (۱۹). لذا با توجه اینکه ماهی اسبله آبشنش ها یعنی تیغه های آبشنشی قابل توضیح است.

استفاده از آنتی بادی IgGα₅-Na⁺, K⁺-ATPase و در واقع سلول های یونوپسیت در حشرات آب زی (۱۰)، سخت پستان (۷، ۸، ۱۷، ۱۴، ۱۲، ۹) و ماهیان از جمله قزل آلای رنگین کمان (۱۳)، باس دریایی (۲۰)، گوبی (۲۱)، سالمون چام (۱۶) خامه ماهی (۵) از موقع ترین روش ها است.

نتایج تحقیق حاضر روی آبشنش اسبله ماهی نیز نشان داد این آنتی بادی در واکنش با آنزیم Na⁺, K⁺-ATPase ایمونوفلورسانس قابل ملاحظه ای تولید می کند و قادر به شناسایی محل حضور آنزیم و به عبارتی محل حضور سلول های یونوپسیت است.

سلول های ایمونوفلورسانست در قسمت انتهایی (نوک) رشته های آبشنشی و همچنین در ناحیه بین تیغه های آبشنشی ماهی S. glanis حضور داشتند و هیچ سلول ایمونوفلورسانسی روی تیغه های آبشنشی دیده نشد. در برش طولی رشته های آبشنشی مجموعه ای از رگ های خونی به همراه اریتروسیت ها قابل مشاهده است. بیشترین تراکم فلورسانسی در ناحیه قاعده ای جانی سلول های بیانگر این امر است که این سلول ها در تبادلات فعلی یونی شرکت دارند. بر اساس این مشاهدات می توان گفت که در ماهی اسبله سلول های یونوپسیت در بخش انتهایی رشته های آبشنشی و در لایلای بخش پایه ای تیغه های آبشنشی واقع شده اند. بررسی ها روی ماهیان مختلف بیانگر این است که سلول های یونوپسیت معمولاً روی لبه آوران رشته ها و در ناحیه بین تیغه های آبشنشی فراوان ترند و معمولاً روی بافت پوششی تیغه ها یافت نمی شوند (۲). هر چند که سازگاری به شرایط محیطی خاص مثل آب های شیرین فقیر از نظر یونی کشور برزیل در مورد Armored catfish (Hypostomus CF. plecostomus) سبب حضور سلول های یونوپسیت روی تیغه های آبشنشی جهت بهبود طرفیت تنظیم یونی آبشنش شده است (۴).

نتیجه گیری

در گریه ماهی S. glanis سلول های یونوپسیت را می توان با روش ایمونوهیستوشیمی مکان یابی کرد. سلول های یونوپسیت در ناحیه بین تیغه های آبشنشی و هم چنین روی اپی تلیال ناحیه رأسی رشته های آبشنشی قرار گرفته اند و حضور متراکم آنزیم Na⁺, K⁺-ATPase در ناحیه قاعده ای جانی این سلول ها می تواند در نتیجه شرکت فعل آنها در تنظیم فشار اسمزی باشد. لذا می توان گفت که توانایی زیست ماهی S. glanis در آب شیرین به دلیل حضور یونوپسیت ها و آنزیم Na⁺, K⁺-ATPase در آبشنش است.



References

- عبدی ا، ماهیان آبهای داخلی ایران، انتشارات موزه طبیعت و حیات وحش ایران، ۱۳۷۸، صفحات ۲۶۱-۲۶۰

- Evans DH, Piermarini PM, Choe KP: The multifunctional fish gill: Dominant site of gas exchange,

- osmoregulation, acid-base regulation, and excretion of nitrogenous waste. *Physiol Rev* 2005; 85: 97-177
3. Sakamoto T, Uchida K, Yokota S: Regulation of the iontransporting mitochondria-rich cell during adaptation to teleost fishes to different salinities. *Zoological Science* 2001; 18: 1163-1174
 4. Fernandes MN, Perna-Martines SA: Epithelial gill cells in the Armored catfish, *Hypostomus CF. plecostomus* (Loricariidae). *Rev Brasil Biol* 2001; 61(1): 69-78
 5. Karnaky KJ, Kinter LB, Kinter WB, Stirling CE: Teleost chloride cell. II. Autoradiographic localization of gill Na⁺,K⁺-ATPase in Killifish *Fundulus heteroclitus*. *J Cell Biol* 1976; 70: 157-177
 6. Laurent P, Perry SF: Environmental effects on fish gill morphology. *Physiol Zool* 1991; 64: 4-25
 7. Varsamos S, Nebel C, Charmantier G: Ontogeny of osmoregulation in postembryonic fish: A review, Comparative Biochemistry and Physiology part A 2005; 141: 401-429
 8. Khodabandeh S, Charmantier G, Blasco C, Grousset E, Charmantier-Daures M: Ontogeny of the antennal gland in the Crayfish *Astacus leptodactylus* (Crustacea, Decapoda): anatomical and cell differentiation. *Cell Tissue Res* 2005a ; 319: 153-165
 9. Khodabandeh S, Kutnic M, Aujoulat F, Charmantier G , Charmantier-Daures M: Ontogeny of the antennal gland in the Crayfish *Astacus leptodactylus* (Crustacea, Decapoda):immunolocalization of Na⁺,K⁺-ATPase. *Cell Tissue Res.* 2005b; 319: 167-174
 10. Khodabandeh, S: Na⁺,K⁺-ATPase in the gut of the Zygoptera *Ischnura elegans* and Anisoptera *Libellula Lydia* larvae (Odonata): activity and immunocytochemical localization .*Journal of Zoological Studies* 2006; (article in press)
 11. Krayushkina LS, Semenova OG, Panov AA, Gerasimov AA, Ogorzalek A: Reaction of the osmoregulatory system of the Paddlefish *Polyodon spathula* Walb. To marine environment . *Zoologica Poloniae* 2000; 45/1-4: 95-120
 12. Lignot JH, Charmantier-Daures M, Charmantier G: Immunolocalization of Na⁺,K⁺-ATPase in the organs of the branchial cavity of the European lobster *Homarus gammarus* (Crustacea, decapoda). *Cell Tissue Res* 2001; 296: 417-426
 13. Witters H, Berckmans P, Vangenechten C: Immunolocalization of in the gill epithelium of rainbow trout, *Oncorhynchus mykiss*, *Cell and Tissue Res* 1996; 283(3): 461-468
 14. Ziegler A: Immunocytochemical localization of Na⁺,K⁺-ATPase in the calcium transporting sternal epithelium of the terrestrial isopod *Porcellio scaber* L (Crustacean). *J Histochem Cytochem* 1997; 45: 437-446
 15. Reuss L, Wills NK and Lewis, SA: Epithelial Transport Proteins, in Nancy, K., Wills, N. K., Reuss, S. A., L., Lewis, S. A. (Eds), *Epithelial Transport: A Guide to Methods and Experimental Analysis*, Chaman and Hall, 1996, 21- 49
 16. Shikano, T. and Fujio, Y: Immunolocalization of in the branchial epithelium of chum salmon fry during seawater and fresh water acclimation. *Experimental Biology* 1998a; 201: 3031-3040
 17. Nebel C, Negre-Sadargues G, Blasco C, Charmantier G: Morphofunctional ontogeny of the urinary system of the European sea bass *Dicentrarchus labrax*. *Anat Embryol* 2005 ; 209: 193-206
 18. Martoja R, Martoja-Pierson M: Initiation aux techniques de l'histologie animale. Masson et cie Editeurs , Paris ,1967
 19. ستاری م، شاهسونی د، شفیعی ش، ماهی شناسی، تشریح و فیزیولوژی، جلد ۱، انتشارات نقش مهر، ۱۳۸۲، صفحات ۱۶۵-۱۷۵
 20. Varsamos S, Diaz JP, Charmantier G, Blasco C, Connes R, Flik G: Location and morphology of chloride cells during the postembryonic development of the European sea bass, *Dicentrarchus labrax* .*Anatomical Embryology* 2002; 205: 203-213
 21. Shikano T, Fujio Y: Relationship of salinity tolerance to immunolocalization of in the gill epithelium during sea water and fresh water adaptation of the Guppy, *Poecilia reticulate*. *Zoological Science* 1998b; 15: 35-41
 22. Lee TH, Hwang PP, Lin HC, Huang FL: Mitochondria-rich cells in the branchial epithelium of the teleost, *Oreochromis mossambicus*, acclimated to various hypotonic environments. *Fish. Physiol. Biochem.* 1996; 15: 513-523
 23. Varsamos S, Wendelaar Bonga SE, Flik G, Quere R, Commes T: Cloning of apiromelanocortin cDNA from the pituity gland of the sea bass *Dicentrarchus labrax* and assessment of mRNA expression in different tissues by means of real-time PCR. *J Endocrinol* 2003; 176: 405-414
 24. Lin HC, Sung WT: The distribution of mitochondria-rich cells in the gills of air-breathing fishes. *Physiol. Biochem. Zool* 2003; 76: 215-228

25. Hootman SR, Philpott CW: Ultracytochemical localization of Na,K-activated ATPase in chloride cells from the gills of a euryhaline teleost. Anat Rec 1979; 193: 99-130



Archive of SID